С.С.Макаревич, доцент; А.В.Дорожко, доцент.

ОПРЕДЕЛЕНИЕ НАПРЯЖЕНИЙ И ДЕФОРМАЦИЙ В ПРОВОДНИКЕ ПРИ ПАЙКЕ МИКРОСХЕМ

Receipt equation for definition strains and deformations in wire, when connect contacts in the process of manufacturing electronic chips. Offers the method to define optimal length of wire.

При изготовлении микросхемы автомат производит пайку проводника к первому контакту в точке О под прямым углом к плоскости микросхемы (рис.1). Затем переходит в положение В, а из положения В ко второму контакту К, где снова производит пайку. При перемещении из положения О в положение В проводник выходит из направляющих автомата. Отрезок ОВ определяет длину проводника 1. В конечной точке К проводник закрепляется под углом а к оси у, который можно считать равным углу наклона выступа направляющих, так как при деформировании тонкий гибкий проводник сгибает выступ. От длины проводника 1 будет зависеть форма изогнутой оси проводника ОСК; наибольшее отклонение х, проводника от плоскости микросхемы, т.е. от оси у; а также максимальное напряжение в окасном сечении. Если напряжение по всему сечению проводника достигнет предела текучести, то в данном сечении проводника поязится пластический шарнир и соединение контактов будет неустойчивым. Отклонение х проводника определяет габариты микросхемы.

Для соединения контактов используются проводники из дорогостоящих материалов. Поэтому желательно уметь определять минимальную длину 1 проводника, при которой в проводнике не будет появляться пластический шарнир.

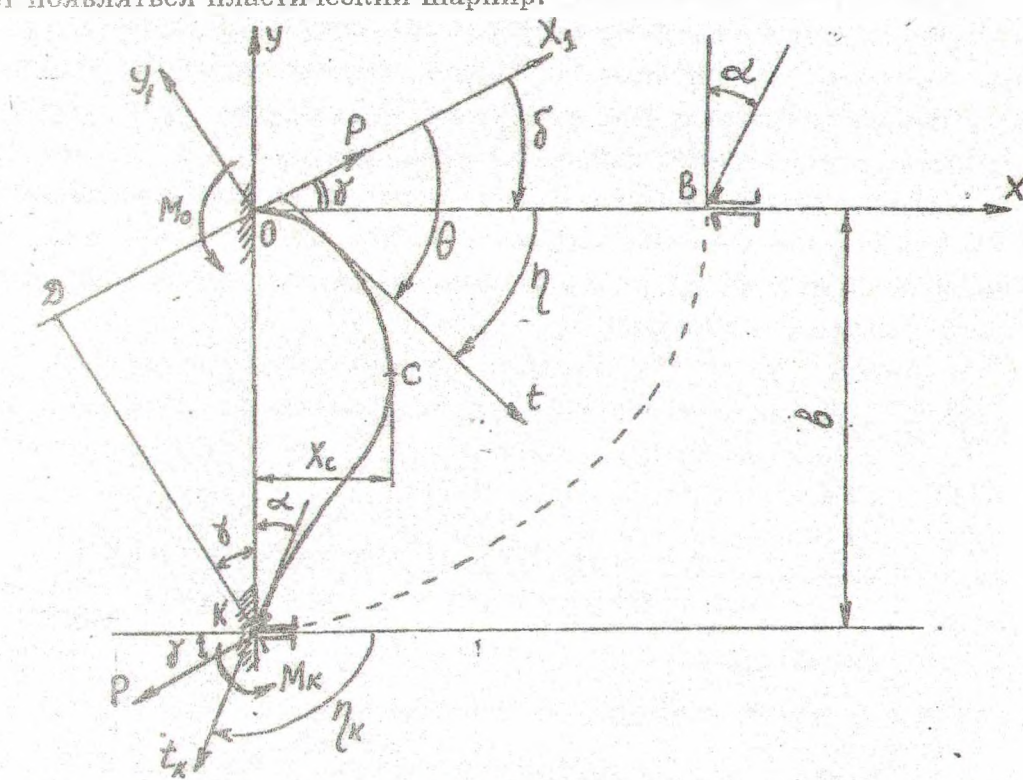


Рис.1. Схема соединения контактов

Теория больших упругих деформаций, которые возникают в очень тонких стержнях, была разработана Эйлером. Практические методы расчета в приложении к некоторым частным техническим задачам приведены в работе [1]. В нашем случае выберем систему координат x_1y_1 , направив ось x_1 по реакции Р в защемлении О. Угол наклона касетельной в любом сечении проводника к оси x_1 обозначим θ . Угол между осью х и x_1 обозначим γ . Тогда отклонение оси х от оси x_1 $\delta=\gamma$.

Кривизна проводника в любом сечении может быть определена через изгибающий момент

a = M / EJ, (1)

где Е - модуль упругости материала проводника, **J** - осевой момент инерции поперечного сечения проводника.

Продифференцируем уравнение (1) по дуге кривой

$$\frac{\mathrm{d}x}{\mathrm{d}s} = \frac{1}{\mathrm{EJ}} \frac{\mathrm{dM}}{\mathrm{d}s}.$$
 (2)

Учитывая, что dM/ds=Q=-Psinθ, и умножив обе части уравнения (2) на l², получим

$$l^2 \frac{dz}{ds} = -\beta^2 \sin \theta \,, \tag{3}$$

где $\beta = 1\sqrt{P/EJ}$.

. После интегрирования уравнения (3) будем иметь

$$l^{2}e^{2} = 4\beta^{2}\left(c_{1} - \sin^{2}\frac{\theta}{2}\right). \tag{4}$$

Анализ уравнения (4) показывает, что изогнутый проводник может иметь перегибную форму и безперегибную. В нашем случае форма изогнутой оси проводника является перегибной.

Сделаем замену переменных и постоянных в уравнении (4):

$$c_1 = k^2$$
, $\sin \frac{\theta}{2} = k \sin \psi$. (5)

Постоянная k и переменная ψ должны удовлетворять следующим условиям:

$$0 \leq k \leq 1, \qquad d\psi \ / \ ds > 0, \qquad -\frac{\pi}{2} < \psi < +\infty \ .$$

С учетом (5) уравнение (4) примет вид

 $læ=2\beta k cos \psi$.

Учитывая, что $\alpha=d\theta/ds$, и переходя от $d\theta/ds$ к $d\psi/ds$, получим

$$1\frac{d\psi}{dz} = \beta\sqrt{1 - k^2 \sin^2\psi} \ . \tag{6}$$

Интегрируя последнее уравнение, найдем

$$\beta \frac{s}{l} = F(\psi) - F(\psi_0) , \qquad (7)$$

где $F(\psi)$ - эллиптический интеграл первого рода.

Для конца K, т.е. при s=l, согласно (7) будем иметь

$$\beta = \mathbf{F}(\psi_{\mathbf{K}}) - \mathbf{F}(\psi_{\mathbf{0}}). \tag{8}$$

Из уравнений (7) и (8) получим

$$\mathbf{F}(\mathbf{\psi}) = \left(\mathbf{F}(\mathbf{\psi}_{\mathbf{K}}) - \mathbf{F}(\mathbf{\psi}_{\mathbf{0}})\right) \frac{\mathbf{s}}{1} + \mathbf{F}(\mathbf{\psi}_{\mathbf{0}}). \tag{9}$$

Запишем уравнение упругой линии изогнутого проводника. Для этого выразим dx_1 и dy_1 через ds:

$$dx_1 = ds \cos \theta = \left(2\cos^2\frac{\theta}{2} - 1\right)ds$$
, $dy_1 = ds \cdot \sin \theta = 2\sin\frac{\theta}{2}\cos\frac{\theta}{2}ds$.

Если учесть (5) и (6), то получим

$$\frac{dx_1}{1} = \frac{2}{3}\sqrt{1 - k^2 \sin^2 \psi} d\psi - \frac{ds}{1}, \quad \frac{dy_1}{1} = \frac{2}{\beta} k \sin \psi d\psi.$$
 (10)

После интегрирования этих уравнений вдоль упругой линии от начала координат до произвольного сечения будем иметь

$$\frac{x_{1}-x_{0}}{1} = \frac{2}{\beta} \left(E(\psi) - E(\psi_{0}) \right) - \frac{s}{l}, \quad \frac{y_{1}-y_{0}}{l} = \frac{2}{\beta} k(\cos \psi_{0} - \cos \psi), \quad (11)$$

где Е(у)-эллиптический интеграл второго рода.

Для проводника, соединяющего контакты, как показано на рис.1, можно записать

 $\theta = \eta + \delta$.

Тогда для начальной и конечной точек будем иметь

 $\theta_0 = \eta_0 + \delta$, $\theta_K = \eta_K + \delta$.

Учитывая, что δ =- γ , η_0 =0, η_K = $\left(\frac{\pi}{2} + \alpha\right)$, получим θ_0 =- γ , θ_K =- $\left(\frac{\pi}{2} + \gamma + \alpha\right)$. (12)

С другой стороны, согласно (5)

 $\sin \frac{\theta_0}{2} = k \sin \psi_0$, $\sin \frac{\theta_K}{2} = k \sin \psi_K$.

Подставляя в последние уравнения значения θ_0 и θ_K согласно (12), получим

$$k\sin\psi_0 = -\sin\frac{\gamma}{2}, \quad k\sin\psi_K = -\sin\left(\frac{\pi}{4} + \frac{\gamma}{2} + \frac{\alpha}{2}\right) \tag{13}$$

Запишем уравнения (11) для конца проводника (точка К):

$$\frac{x_{1}(K) - x_{0}}{1} = \frac{2}{6} (E(\psi_{K}) - E(\psi_{0})) - 1,$$

$$\frac{y_{1}(K) - y_{0}}{1} = \frac{2k}{6} (\cos \psi_{0} - \cos \psi_{K}).$$
(14)

В то же время из рис.1 можно записать

Engy-Zo=OD=-bsiny, yEGO-yo=DK=-bcosy.

Нодставия последене выражения в уравнения (14) и учитывая значение β осглесно (8), получим

$$(F(\psi_K)-F(\psi_0))\cos\gamma=2k\lambda(\cos\psi_K-\cos\psi_0), \tag{15}$$
 rue $\lambda=1/b$.

Таким образом, мы получили два уравнения (13) и два уравнения (15) с четырьмя неизвестными: k, γ, ψ₀ и ψ_K. Задаваясь длиной проводника l, эти неизвестные можно определить путем

последовательных приближений. После этого по формуле (8) определится β , а затем сила P и изгибающий момент в любом сечении проводника:

$$\mathbf{P} = \beta^2 \frac{\mathbb{E}J}{l^2}, \quad \mathbf{M} = \frac{2k\cos\psi}{\beta} \mathbf{Pl}. \tag{16}$$

Наибольшие напряжения будут возникать в сечении у начала координат:

$$\sigma_{\text{max}} = \frac{N_0}{A} + \frac{M_0}{W} = \frac{4P\cos\theta_0}{\pi d^2} + \frac{64kPl\cos\psi_0}{8\pi d^3},$$
 (17)

где A; W - площадь и момент сопротивления поперечного сечения проводника; d - диаметр проводника.

Наибольшее отклонение проводника от оси у определится из условия, что для точки С угол $\theta_c = \left(\frac{\pi}{2} + \gamma\right)$. Напряжение от продольной силы значительно меньше, чем от изгибающего момента. Поэтому, пренебрегая первым слагаемым в уравнении (17), можно записать

$$\sigma_{\max} = \frac{M_0}{W} = \frac{\alpha_0 Ed}{2},\tag{18}$$

где 🚓 - кривизна проводника в начале координат.

Решение системы трансцендентных уравнений (13) и (15) довольно трудсемкое. Поэтому нами составлена программа решения этой системы на ЭВМ. По данным расчета на ЗВМ можно построить номограммы, по которым довольно легко определить наименьшую длину проводника при известном расстоянии в между контактами, пределе текучести ст и модуле упругости Е для материала проводника и диаметре проводника d.

ЛИТЕРАТУРА

1. Попов Е.П. Нелинейные задачи статики тонких стержней.-Л.-М.: Государственное издательство технико-теоретической литературы, 1948, - 170 с.